

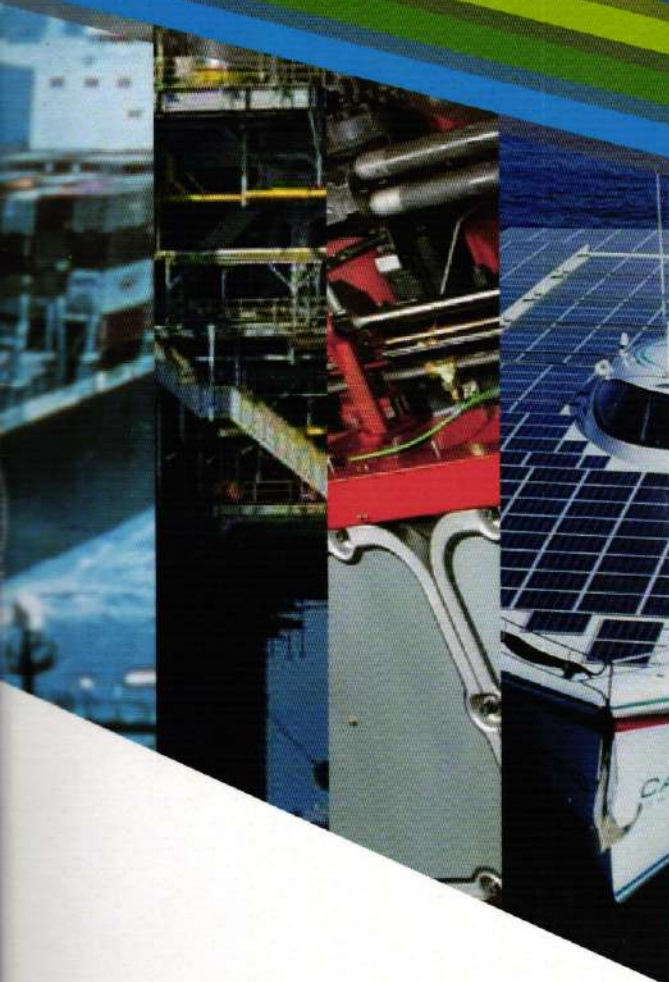
ISSN 1412-2332

senta

INOVASI
TEKNOLOGI
KELAUTAN

2013

Seminar Teori dan Aplikasi
Teknologi Kelautan



PROSIDING

Teknologi Kelautan
Menjawab Tantangan Energi
dan Perubahan Iklim

Aula B.G. Munaf
Fakultas Teknologi Kelautan
Institut Teknologi Sepuluh Nopember
Selasa, 3 Desember 2013



DAFTAR ISI

SAMBUTAN REKTOR ITS..... i

SAMBUTAN DEKAN FTK – ITS..... ii

SUSUNAN PANITIA..... iii

PAPER KOMISI A

THE USE OF FIBREGLASS FOR SUPER STRUCTURE OF ALUMINIUM BOATS
Bambang Teguh Setiawan, Boedi Herijono A - 1

**RANCANG BANGUN HYDRO JET BOAT DENGAN MEMANFAATKAN WATER PUMP SET
UNTUK MESIN PENGGERAKNYA SEBAGAI SARANA TRANSPORTASI
SAAT BENCANA BANJIR**
Agus Sutoto A - 6

**FATIGUE CRACK GROWTH ANALYSIS ON 5083 ALUMINIUM SHIP
CONSTRUCTION BASE ON DIFFERENCE WELDING DIRECTIONS OF DOUBLE
SIDED FRICTION STIR WELDING**
Erik Sugianto, Achmad Zubayd, Nurul Muhayat A - 13

PENINGKATAN USAHA PEMBUATAN PERAHU WISATA YANG ERGONOMIS
Eko Nurmianto, Suharmadi, Aries Sulisetyono A - 19

PERANCANGAN KAPAL LAYANAN MASYARAKAT DI KEPULAUAN SERIBU
Indra Dwi Pratama Dan Hesty Anita Kurniawati A - 25

**PENGURANGAN KERUGIAN ENERGI TAHANAN TOTAL PADA MODEL KAPAL
SELAM DENGAN PEMBERIAN SERAT KULIT TOMAT**
M.Baqi, Gunawan, A.Tsabit, A.Asyraf, dan Yanuar A - 31

**THE DEVELOPMENT STUDIES OF COST BASED SHIPBUILDING
STRATEGY MODEL**
Edi Rianto, Triwilaswadio Wuruk Pribadi, M. Zaed Yuliadi A - 40

**ANALISIS PENGARUH SISI PENGELESAAN TERHADAP SIFAT MEKANIK HASIL
PENGELASAN DUA SISI FRICTION STIR WELDING ALUMINIUM 5083 PADA KAPAL
KATAMARAN**
Taufik Baihaqi, Budie Santosa, Achmad Zubaydi, Nurul Muhayat A - 49

**DESAIN GARIS BADAN (HULL LINES) KAPAL PENYEBERANGAN SEBAGAI
SARANA TRANSPORTASI SUNGAI DAN LAUT YANG HANDAL, AMAN DAN
NYAMAN UNTUK ANGKUTAN PENUMPANG/BARANG**
Sahlan*, Wibowo Hn, A. Jamaluddin A - 58

PREDIKSI BEBAN SLAMMING TERHADAP KAPAL PERANG JENIS FRIGATE	ANAL
Ahmad Syaiful M, Wibowo HN	BASE
	Badru
KONSEP DESAIN PROTO-TYPE KAPAL PENYEGERANGAN LINTASAN BUTON –	PAPE
MUNA – KABAENA	IMPL
Ardianti, Ganding Sitepu, A. Haris Muhammad	BAHA
	Desi
DEVELOPMENT OF A DATABASE OF STANDARD COMPONENTS OF SHIP HULL	DESA
STRUCTURES USING THE AUTOCAD AND VISUAL BASIC FOR APPLICATION	ANTA
SOFTWARE	Gand
Didik Eko Indrawan, Djauhar Manfaat	PERA
	RAN
FULLY SUBMERGED FOIL VESSEL RESISTANCE APPROXIMATION	PEN
M. Alham Djabbar, Suandar Baso, Juswan, M. Iqbal Nikmatullah, Bachrun Lihawa,	Moha
Wardina Suwedy	
STUDI PENGGUNAAN BAMBU SEBAGAI MATERIAL ALTERNATIF PENGGANTI	POR
KAYU UNTUK MATERIAL BANGUNAN ATAS KAPAL DENGAN METODE SISTEM	AND
PLANKING PADA KAPAL KAYU 30 GT	Dima
Heri Supomo, Sri Rejeki dan Muhammad Sholikhan Arif	TINJ
	SEK
STUDI EKSPERIMENT SEAKEEPIING FPU MENGGUNAKAN WHITE NOISE	Tegu
SPECTRUM	PER
Baharuddin Ali, Arifin dan Andi Jamaluddin	SYS
	14"
BUCKLING PHENOMENON FOR STRAIGHT PIPE UNDER PURE BENDING	Bud
Hartono Yudo, Takao Yoshikawa	LAY
	BAS
ANALISIS OPERABILITAS FSRU AKIBAT BEBAN LINGKUNGAN BERBASIS	CA
RANAH WAKTU	Has
Murdjito and Mainas Ziyan Aghnia	
	IMP
ANALISA PENGARUH SURFACE BUOY, SUBMERGED BUOY DAN TETHERED	SAV
SUBMERGED BUOY TERHADAP KINERJA SISTEM TAMBAT SEMI-SUBMERSIBLE	Aly
"ESSAR WILDCAT"	
Murdjito and Erdina Arianti	PER
	Ven
PREDICTION OF SLOSHING ON THE INSIDE WALLS OF MEMBRANE TYPE TANK	
FOR LNG CARRIER DUE TO HEAVING AND PITCHING MOTION IN REGULAR	
WAVE	
Ketut Suastika and Muhamad Syaiful Anwar	A - 131

..... A - 67	RIGATE
..... A - 73	AN BUTON -
..... A - 81	SHIP HULL LICATION
..... A - 88	Lihawa,
..... A - 91	NGGANTI E SISTEM
..... A - 95	TUK
..... A - 102	HITE NOISE
..... A - 109	ING
..... A - 117	ASIS
..... A - 123	ERED VERSIBLE
..... A - 131	TYPE TANK GULAR
	ANALYSIS OF COLLISION AVOIDANCE IN THE MALACCA STRAITS BASED ON HUMAN FACTOR MODEL AND AIS DATA Badruz Zaman A - 139
	PAPER KOMISI B
	IMPLEMENTASI CONTENT BASED INSTRUCTION (CBI) DALAM PEMBELAJARAN BAHASA INGRIS UNTUK MAHASISWA PERKAPALAN Desi Tri Cahyaningati dan Perwi Darmajanti B - 1
	DESAIN PROGRAM PRARANCANGAN OPTIMUM KAPAL PENYEBERANGAN ANTAR PULAU UNTUK KAWASAN TIMUR INDONESIA Ganding Sitepu, Daeng Paroka, Mansur Yahya B - 7
	PERANGCANGAN PEMBUATAN PROTOTYPE TURBIN SAVONIUS DALAM RANGKA PEMANFAATAN RENEWEABLE ENERGY (ANGIN) UNTUK SISTEM PENERANGAN PADA KAPAL Mohammad Danil Arifin, Fanny Octaviani, Arif Prasetyo B - 14
	PORTFOLIO ASSESSMENT ON TEACHING WATERTIGHT BULKHEAD POSITION AND SIDE VIEW DRAWING AT PPNS Dimas Endro dan Desi Tri Cahyaningati B - 21
	TINJAUAN KASUS MUSIBAH TERBAKARNYA KMP LAUT TEDUH 2 DI PERAIRAN SEKITAR PULAU TEMPURUNG – SELAT SUNDA Teguh Sastrodiwongso Aleik Nurwahyudy, Arif Fadillah B - 28
	PERBANDINGAN PENDEKATAN KENT MUHLBAUER DAN FUZZY INFERENCE SYSTEM PADA PROSES PENILAIAN RISIKO : STUDI KASUS PIPA BAWAH LAUT 14" PHE-WMO Budhi Santoso, Ketut Buda Artana, I Made Ariana, A.A.B Dinariyana D.P B - 36
	LAYOUT OPTIMIZATION MODEL FOR DRY BULK PORT BASED ON DISCRETE SIMULATION APPROACH: CASE STUDY SPECIAL PURPOSE PORT OF PT PETROKIMIA GRESIK Hasan Iqbal Nur, Firmanto Hadi B - 42
	IMPROVEMENT OF ENERGY EFFICIENCY IN FISHING SHIP USING ENERGY SAVING DEVICE Alyuan Dasira, JM Laurens B - 48
	PERANCANGAN ERGONOMI BRIDGE DECK MENUJU ONE – MAN OPERATED Venta Kevara Aprilia, A.A. Masroeri B - 60

SISTEM PENDUKUNG KEPUTUSAN (SPK) PEMENANG TENDER KAPAL PENGAWAS MENGGUNAKAN METODE FUZZY AHP (F-AHP)	B – 67	STATUS PENDU Mukhtas HadiSet
Heru Lumaksono dan Hozairi		
PERANCANGAN SLIDING CRANE UNTUK MENINGKATKAN KEMAMPUAN OPERASI BONGKAR MUAT PADA UTILITY VESSEL 48 METER	B – 77	RISK AS SIMENCO
Agoes Santoso, Amiadji, Benny Cahyono, dan Akhmad Khusnu Zulkhilmi		Putut Pa
STUDI AWAL MONITORING KESELAMATAN KAPAL MELALUI IMPLEMENTASI HAZARD NAVIGATION MAP DENGAN PEMANFAATAN DATA AUTOMATIC IDENTIFICATION SYSTEM (AIS) DAN SHIPPING DATABASE SECARA REAL TIME	B – 82	PAPER
Satriya Aryang Mawulu, Trika Pitana, R.O. Saut Guming		PENGU PADA W
PENGEMBANGAN SISTEM ONLINE MONITORING TEMPERATUR DAN KELEMBABAN COLD STORAGE PADA KAPAL REEFER CARGO BERBASIS FUNGSI WIRELESS SENSOR NETWORK	B – 88	Ardi Nug
Syahrial Aman, Sutopo P.F, A.A.Masroeri		MAINT ANALYT
ANALISA TEKNIS PENGGUNAAN BUSBAR TRUNKING PADA KAPAL UTILITY VESSEL 48 METER	B – 99	Silvianita
Achmad Firdaus, Sardono Sarwito, Agoes Santoso, Eddy Setyo		ANALIS
PERANCANGAN SMALL TRAILING SUCTION DREDGER (TSD) SEBAGAI METODE PENGERUKAN DI KOLAM PELABUHAN	B – 110	Muhamm
Amiadji., Agoes Santoso., Alfan Fadhl		NUMER
ANALISA PENGARUH BEBAN INDUKTIF DAN RESISTIF PADA GENERATOR INDUKSI PADA PEMBANGKIT LISTRIK TENAGA GELOMBANG LAUT	B – 116	SEMISU
Lucky Andoyo, Sardono Sarwito, Indra Ranu, A.A Masroeri		Imam Ro
PERANCANGAN GENERATOR INDUKSI BERTEGANGAN 220 VAC PADA PEMBANGKIT LISTRIK TENAGA GELOMBANG LAUT (PLTGL)	B – 127	EVALUA
Tri Indra Kusuma, Sardono Sarwito, Indra Ranu Kusuma, Agus Sulaiman.....		DRILLS
DESAIN ULANG PEMANFAATAN AIR BUANGAN HASIL KONDENSASI DARI CONDENSER PEMBANGKIT LISTRIK TENAGA PANAS BUMI SEBAGAI PEMBANGKIT LISTRIK TENAGA MIKRO HIDRO	B – 136	I.D.G Ad
R. Ahmad Cholilurrahman, Alif Prima Maulana, DwiKhusna		STUDI K
UJIFISIK PEMBANGKIT LISTRIK TENAGA GELOMBANG SISTEMBANDULAN (PLTGL – SB) DI PELABUHAN TELAGA BIRU TANJUNG BUMI MADURA	B – 146	PENGE
Irfan Syarief		BERPEN
HINDCASTING (METEOROLOGICAL FORECASTING) DALAM PREDIKSI KONSENTRASI KAPASITAS AIR LIMBAH PADA PEMBANGKIT LISTRIK TENAGA GELOMBANG	vii	Ardhana
		TREND
		Muhamm
		HINDCA
		(METEO
		DALAM
		Muhamm

PAL	
..... B – 67	
PUAN	
..... B – 77	
MENTASI	
ATIC	
REAL TIME	
..... B – 82	
I	
BASIS	
..... B – 88	
UTILITY	
..... B – 99	
GAI METODE	
..... B – 110	
GENERATOR	
..... B – 116	
VAC PADA	
..... B – 127	
ISASI DARI	
SEBAGAI	
..... B – 136	
JUNG BUMI	
..... B – 146	
STATUS OF DEVELOPMENT OF WAVE POWER PLANT TECHNOLOGY WITH PENDULUM SYSTEM (PLTGL-SB) 20 KW	
Mukhtasor, Zamrisyaf, Irfan Syarif Arif, Rudi Walujo Prastianto, Harus Laksana Guntur, Hadi Setiyawan, dan Mauludiyah	B – 159
RISK ASSESSMENT PADA LNG CARRIER “STUDI KASUS SIMENGGARIS~TANJUNG BATU”	
Putut Panji Utomo, R.O Saut Guming, Trika Pitana , M. Badrus Zaman	B - 166
PAPER KOMISI C	
PENGUKURAN VISCOS RESISTANCE KAPAL SELAM MINI DENGAN PENGUJIAN PADA WIND TUNNEL	
Ardi Nugroho Yulianto, Ketut Suastika, Aries Sulisetyono	C – 1
MAINTENANCE STRATEGY SELECTION FOR MOORING SYSTEM USING ANALYTIC HIERARCHY PROCESS	
Silvianita, Mohd Faris Khamidi	C – 6
ANALISIS UMUR SISA JACKET PLATFORM BERBASIS RBI	
Muhammad Irfan, Daniel M. Rosyid, Murdjito	C – 13
NUMERICAL ANALYSIS ON OFFSHORE STRUCTURES DESIGN FOR SEMISUBMERSIBLES TYPE	
Imam Rochani, Handayani, Suntoyo	C – 21
EVALUASI ASPEK GERAKAN DAN OPERABILITAS DALAM PERANCANGAN DRILLSHIP DENGAN DISPLASEMEN 35.000 TON	
I.D.G Adi Surya Yuda, Eko B. Djatmiko, dan Wisnu Wardhana	C – 30
STUDI KARAKTERISTIK GERAKAN DAN OPERABILITAS ANJUNGAN PENGEBORAN SEMI-SUBMERSIBLE DENGAN KOLOM TEGAK DAN PONTON BERPENAMPANG PERSEGI EMPAT	
Ardhana Wicaksono, Eko Budi Djatmiko dan Mas Murtedjo	C – 39
TREND OF SEA SURFACE TEMPERATURE OVER INDONESIA	
Muhammad Najib Habibie	C – 48
HINDCASTING GELOMBANG MENGGUNAKAN DATA ANGIN DARI MRI-JMA (METEOROLOGY RESEARCH INSTITUTE/JAPAN METEOROLOGY AGENCY) DALAM KURUN WAKTU 1989 – 2003	
Muhammad Zikra, Nurul Fitriah dan Suntoyo	C – 55

DESIGN OF MEASUREMENT SYSTEM FOR FLOATING BREAK WATER FORCE USING MIKROKONTROLLER	C - 62
Dwi Purnomo Hendradhata	
BREAKWATER FOR TSUNAMI, A REVIEW AND A PROPOSAL FOR NEW CONCEPT	C - 67
Handayanu	
ANALISIS LAJU SEDIMENTASI DI KANAL COOLING INTAKE PLTGU GRATI (PT. INDONESIA POWER UNIT BISNIS PEMBANGKITAN (UBP) PERAK-GRATI)	C - 73
Happy Ayu D., Suntoyo dan Muhammad Zikra	
STUDY ON POTENTIAL OF GROUNDWATER QUALITY AND ITS ECONOMIC ASPECT FOR AQUACULTURE IN EASTERN SURABAYA COASTAL AREA	C - 80
Oni Wiwid Jayanthi, Wahyudi, Sholihin, Suntoyo	
DEVELOPMENT OF SEAWATER DESALINATION EQUIPMENT BY FILTER TREATMENT SYSTEM	C - 85
Takeshi Shinoda dan Hiroki Satoh	
MODEL KARAKTER FISIK MUKA AIR TANAH DI WILAYAH PANTAI SIDOARJO TUJUH TAHUN PASKA SEMBURAN LUMPUR	C - 90
M.Mustain	
STUDI KUALITAS AIRTANAH DI PESISIR SURABAYA TIMUR	C - 101
Wahyudi, Nico Adi Pumomo, Sholihin, Tatas, Suntoyo	
PENINGKATAN USAHA MASYARAKAT PESISIR MELALUI BUDUDAYA DAN PENGOLAHAN RUMPUT LAUT DI KECAMATAN SUMBERASIH	C - 110
Naning Aranti Wessiani, Eko Nurmianto, Haryo Dwito Armono.....	
STUDI POTENSI AIRTANAH DI PESISIR SURABAYA TIMUR UNTUK BUDIDAYA PERIKANAN AIR PAYAU	C - 116
Arif Setiyono, Wahyudi, Suntoyo, Sholihin, Tatas	
PEMODELAN "ARCHITECTURE ELEMENTS" PADA FASIES BERDASARKAN ANALISA WELL LOG DAN SEISMIK MENGGUNAKAN PETREL 2009	C - 122
Jusfarida	
APPLICATION AND DEVELOPMENT OF ACOUSTIC MULTIFREQUENCY TECHNOLOGY TO IDENTIFY AND CHARACTERIZE THE MICRONECTON POPULATION	C - 127
Eko Nofridiansyah dan Anne Lebourges-Dhaussy	
PENGEMBANGAN USAHA MASYARAKAT DAERAH PESISIR MELALUI PENGOLAHAN JAGUNG DI KECAMATAN PACIRAN	C - 133
Nugroho Priyo Negoro, Eko Nurmianto, Naning Aranti Wessiani	

R FORCE	
..... C - 62	
W CONCEPT	
..... C - 67	
RATI	
-GRATI)	
..... C - 73	
OMIC	
EA	
..... C - 80	
ER	
..... C - 85	
OARJO	
..... C - 90	
DAYA DAN	
..... C - 101	
IDAYA	
..... C - 110	
ORKAN	
.... C - 116	
I	
.... C - 122	
.... C - 127	
... C - 133	
ANALYSIS METHOD IMPACT SEA-LEVEL RISE AND COASTAL VULNERABILITY MODEL IN KABUPATEN TUBAN	
Marita Ika Joesidawati	C - 139
PAPER KOMISI D	
PENTINGNYA PRAKTIKI MEMPERHATIKAN FREKUENSI NATURAL LOKAL GETARAN DI KAPAL: STUDI KASUS	
Asjhar Imron dan Totok Yulianto	D - 1
NEW STRIP THEORY APPROACH TO SHIP MOTIONS PREDICTION	
Suandar Baso, Syamsul Asri, Rosmani, Lukman Bochary, L.A.H Pratama	D - 9
AN ALTERNATIVE APPROACH TO PRODUCING PRODUCTION DRAWING AND MATERIAL LIST BASED ON STANDARD COMPONENTS OF SHIP HULL STRUCTURES	
Totok Yulianto, Mohammad Nurul Misbah, Ahmad Nasirudin, Djauhar Manfaat, Didik Eko Indrawan, Deny Purwita Putra dan Suraj Nurholi	D - 17
ANALISIS LOKASI KRITIS JALUR EVAKUASI PENUMPANG KAPAL PENYEGERANGAN ANTAR PULAU	
Andi Haris Muhammad, Daeng Paroka, Bahrun	D - 25
DEVELOPMENT OF EFFICIENCY MEASUREMENT TECHNIQUE FOR CONTAINER HANDLING EQUIPMENT: EMPLOYMENT OF HYBRID STRADDLE CARRIER	
Putu Hangga dan Takeshi Shinoda	D - 32
STUDI PENERAPAN METODE ANALISA RESIKO TUBRUKNAN KAPAL PADA ALUR PELAYARAN BARAT SURABAYA DENGAN MEMANFAATKAN DATA AIS	
Nur Fadly Ryzqy, Trika Pitana, Raja Olan Saut Guming	D - 38
DESAIN INTEGRASI DATABASE AUTOMATIC IDENTIFICATION SYSTEM (AIS) SEBAGAI DASAR MONITORING TRAFIK SECARA REAL TIME UNTUK PENGEMBANGAN METODE KESELAMATAN KELAUTAN	
Akhmad Maulidi, Trika Pitana, Ketut Buda Artana, AAB Dinariyana DP	D - 45
ANALISA KEBUTUHAN KAPASITAS DERMAGA TERMINAL PETIKEMAS MAKASSAR DENGAN PENDEKATAN MODEL ANTRIAN	
Ade Febrianti, A. St. Chairunnisa dan Misliah	D - 50
ANALISIS STRATEGI PENGEMBANGAN PELABUHAN-PELABUHAN UTAMA PADA KORIDOR SULAWESI DALAM MENDUKUNG KONEKTIVITAS NASIONAL	
Chairunnisa Mappangara, Chairul Imam, Lawalenna Samang, Rahardjo Adisasmida, dan	

Ganding Sitepu	D – 57
EVALUATION METHODOLOGY FOR OUTFITTING EQUIPMENT BASED ON VALUE ENGINEERING -APPLICATION TO BALLAST WATER MANAGEMENT SYSTEM-	
Takeshi Shinoda dan Katsuhisa Yano	D – 63
 ESTABLISHING THE EVALUATION ANALYSIS MODEL FOR CARGO TRANSPORTATION SYSTEM	
Takeshi Shinoda, Sumanta Buana, Putu Hangga dan Katsuhisa Yano	D – 69
 KAJIAN IMPLEMENTASI TOLOK UKUR PENILAIAN KESELAMATAN PELAYARAN	
Arif Fadillah, Augustinus Pusaka, M. Danil Arifin	D – 75
 ANALISA KAPASITAS OPTIMAL LAPANGAN PENUMPUKAN TERMINAL PETIKEMAS BITUNG BERDASAR OPERATOR DAN PENGGUNA PELABUHAN	
Misliah, Zulkifli.....	D – 83
 PENGEMBANGAN MODEL JAMINAN PURNA JUAL (WARRANTY) PADA PROSES PEMBANGUNAN KAPAL	
Sapto Wiratno Satoto, Djauhar Manfaat, Triwilaswadio Wuruk Pribadi	D – 89
 OPTIMALISASI PERANCANGAN KAPAL PENYEGERANGAN DI KAWASAN TIMUR INDONESIA	
Andi Dirga Noegraha, Ganding Sitepu, Andi Haris Muhammad	D - 95
 MAINTENANCE STRATEGY SELECTION FOR MOORING SYSTEM USING ANALYTIC HIERARCHY PROCESS	
Silvianita, Mohd Faris Khamidi	D – 101
 THE USE OF A PARAMETRIC METHOD IN DEVELOPING THE THREE-DIMENSIONAL MODEL OF STANDARD COMPONENTS OF SHIP HULL STRUCTURES	
Mohammad Nurul Misbah, Totok Yulianto, Djauhar Manfaat, Didik Eko Indrawan, Deny Purwita Putra, Suraj Nurholi	D – 110
 RESISTANCE REDUCTION BY OPTIMIZING BOW-STERN FORM OF THE FISHING VESSEL	
Suandar Baso, Rosmani, AndiAswandi	D – 117
 STUDI LOKASI PELABUHAN PETIKEMAS ALTERNATIF SELAIN SUKARNO MAKASSAR DI WILAYAH SULAWSI SELATAN DALAM PERSPEKTIF EFISIENSI LOGISTIK	
Syarifuddin Dewa dkk , Muhammad Isran Ramli, Muhammad Saleh Pallu, Muhammad Alham Djabbar.....	D – 122

..... D - 57	
ED ON VALUE SYSTEM- D - 63	
PENGARUH ELEMEN BANGUNAN KAPAL TERHADAP KOREKSI LAMBUNG TIMBUL MINIMUM Daeng Paroka ; Ariyanto Idrus.....	D - 129
..... D - 69	
PELAYARAN D - 75	
I TERMINAL LABUHAN D - 83	
ADA PROSES D - 89	
ASAN TIMUR D - 95	
TEM USING D - 101	
drawan, Deny D - 110	
HE FISHING D - 117	
N SUKARNO IF EFISIENSI Muhammad D - 122	

PREDICTION OF SLOSHING ON THE INSIDE WALLS OF MEMBRANE TYPE TANK FOR LNG CARRIER DUE TO HEAVING AND PITCHING MOTION IN REGULAR WAVE

Ketut SUASTIKA* and Muhamad Syaiful ANWAR

Department of Naval Architecture Engineering, Faculty of Marine Technology
Sepuluh Nopember Institute of Technology – Surabaya.
*E-mail: k_suastika@na.its.ac.id

Abstrak

The development of an offshore LNG sector and the increase demand's for operational flexibility in LNG shipping bring the new challenges for sloshing assessment on ship motion of partially filled LNG inside tanks. Frequently, the ship sails in a head head sea, therefore the heaving and pitching motions became important. Sloshing can be interpreted as the free surface motion of fluid in a container. The motion of LNG membrane tank caused by ship motion may produce large pressures on the walls of the tank structure. The dimensions of the membrane tank are 32.46 m in length, 27.32 m height and 39.17 m width moulded. But the aft lower width is 31.29 m, aft upper width is 21.49 m and moulded front width is about 19.4 m, the front lower width is 11.9 m and front upper width is 18.5 m. The LNG has been simulated for the three variations of filling levels: 30%, 50%, and 80% of membrane tank height which is the simulation of sloshing were performed by using CFD. Simulation results show that the maximum dynamic pressure occurred at 30% of LNG filling level, equal to 5122.34 Pa on the aft wall node of the membrane tank at 10.92 m from the bottom of the membrane tank. Furthermore, the lower of the filling level, the larger is the dynamic pressure.

Keywords: 3D Coupled, Heaving, LNG Carrier, Membrane tank, Sloshing, Pitching.

1. Pendahuluan

Pergerakan kapal yang terjadi berpengaruh pada gerakan fluida yang terisi sebagian (*partial filling*) dalam tanki dapat menyebabkan beban struktur yang besar khususnya saat periode gerak tanki dekat dengan periode natural cairan di dalam tanki. Pada saat itu tanki akan mengalami fenomena *sloshing*. *Sloshing* merupakan gerakan permukaan cairan bebas di dalam sebuah wadah. Amplitudo gerakan fluida tersebut tergantung pada sifat cairan, frekuensi gerakan oleh tanki, ketinggian cairan, dan geometri tanki. Perilaku dinamis dari permukaan cairan bebas tergantung pada jenis eksitasi dan frekuensi eksitasi. Eksitasi dapat terjadi secara *impulsif*, *sinusoidal*, periodik dan acak. Sedangkan kaitan sloshing dengan tanki bisa terjadi secara *lateral*, *parametrik*, *pitch*, *heave* atau *roll* dan kombinasi. Dalam medan gravitasi yang rendah, tegangan permukaan cairan dapat diarahkan secara acak dalam tanki tergantung pada karakteristik dasar tanki yang mengisi dinding tanki tersebut (A Ibrohim Rouf, 2005).

Tujuan dari penelitian ini adalah untuk menganalisis prediksi gerakan LNG yang bebananya berefek pada dinding tanki membran kapal LNG. Dalam memprediksi karakteristik tanki membran LNG tersebut, dipilih tanki LNG no.4 dimana posisi tanki membran tersebut berada di posisi yang jauh dari pusat rotasi dan type tanki yang disimulasikan merupakan membran NO.96 dikarenakan salah satu tipe tanki membran yang banyak dimiliki oleh kapal LNG pada umumnya. Dengan posisinya yang dapat berkontak langsung dengan muatan cair, sistem membran harus memiliki kapasitas yang cukup untuk menahan semua beban dari sloshing dalam gerakan LNG pada gelombang. Sistem membran yang paling umum digunakan adalah struktur non-tradisional (seperti lapisan kayu yaitu terisolasi atau busa panel poliuretan) hal itu dilakukan berdasarkan pertimbangan dari pengalaman sukses dengan system insulasi yang memaksimalkan manfaat kebutuhan untuk desain tanki membran (Hou Ling,Wu Cun Liang, 1978).

2. Dasar Konsep Gerakan

2.1. Konsep Kopel Gerakan Heaving dan Pitching

Gerakan kopel pada gerakan osilasi kapal menggunakan persamaan gerak yang mendasar yaitu berupa respon frekuensi linear terhadap eksitasi harmonik. Eksitasi yang dimaksud adalah gangguan yang disebabkan oleh gaya gelombang, serta gaya pengembali berupa gaya iherisia akibat adanya massa bentuk, massa *hydrodynamic* (added mass), gaya

damping, wave making, dan gaya pengembali akibat adanya *buoyancy*. Dengan kata lain gerakan *heaving-pitching coupled* merupakan gerakan gabungan dari gerakan yaitu gerakan *uncoupled heaving* dan *pitching*. Sehingga penyelesaian persamaan gerak kapal yang melibatkan semua gaya translasi heave untuk kapal (Bhattacharyya, 1978) adalah sebagai berikut:

$$(m + a_z)\ddot{z} + b\dot{z} + cz + d\ddot{\theta} + e\dot{\theta} + h\theta = F(t) \quad (1)$$

Dimana ξ merupakan *displacement* gelombang air laut dan m , a_z , b , c , d , e , h merupakan koefisien yang dihitung dalam gerakan heaving dalam setiap section kapal. Sedangkan persamaan gerak kapel yang melibatkan gerakan angular pitch untuk kapal (Bhattacharyya, 1978) adalah sebagai berikut:

$$(I_{yy} + A_{yy})\ddot{\theta} + B\dot{\theta} + C\theta + D\ddot{z} + E\dot{z} + H\theta = M(t) \quad (2)$$

Dimana koefisien-koefisien dalam persamaan tersebut mendeskripsikan dari momen gaya dari gaya yang terjadi dalam gerakan *pitching* pada kapal. Dimana $M(t)$ adalah amplitudo exciting momen, koefisien-koefisien I_{yy} , b , c , d , h , A_{yy} , B , C dan H dapat dihasilkan dari hasil percobaan model test di towing tank untuk kapal tersebut (Bhattacharyya, 1978). Namun dalam menganalisis gerakan fluida dalam tanki yang bergerak secara sinusoidal pada gerakan couple antara heave dan pitch, perubahan gerakan simultan tanki pada gelombang regular dapat didekati dengan persamaan :

$$z_{(t)} = z_0 \sin \omega_e t \quad (3)$$

$$\theta_{(t)} = \theta_0 \cos \omega_e t \quad (4)$$

Dimana $z_{(t)}$ adalah gerakan heave, z_0 adalah amplitudo gerakan heave pada CG dalam meter, $\theta_{(t)}$ adalah gerakan pitch dalam radian, θ adalah amplitudo angular gerakan pitch pada CG dalam radian, ω_e adalah encounter frekuensi dalam rad/s, dan t adalah waktu dalam detik.

2.2. Konsep Sloshing

Gelombang pada *sloshing* akan membentuk gelombang yang berbeda dan bergantung pada kedalaman cairan serta frekuensi osilasi. Ada empat jenis gelombang yang mungkin terjadi yaitu; *standing wave*, *traveling wave*, *hydraulic jump* dan kombinasi dari semua itu. Untuk cairan dangkal yang berosilasi pada frekuensi yang jauh lebih rendah dari frekuensi resonansi, maka *standing wave* akan terbentuk. Saat frekuensi meningkat, *standing wave* berubah menjadi *traveling wave* dengan panjang gelombang yang sangat pendek. Sedangkan *hydraulic jump* akan terjadi karena gangguan kecil dan muncul di atas yang rentang frekuensinya dekat frekuensi resonansi. Saat frekuensi meningkat lebih besar, *hydraulic jump* akan berubah menjadi *soliter wave*. Untuk cairan lebih dalam, *sloshing* yang dekat resonansinya, akan ditandai dengan pembentukan amplitudo yang besar pada *standing wave*. Gelombang ini akan asimetris saat terjadi amplitudo besar.

Sloshing dapat menimbulkan dua jenis tekanan dinamis. Tekanan tersebut disebut tekanan *non-impulsif* dan *impulsif*. Tekanan *Impulsif* adalah tekanan yang berdampak cepat karena dampak antara cairan dan permukaan yang solid. Biasanya terjadi pada *hydraulic jump* dan *traveling wave*. Tekanan *non-impulsif* adalah tekanan dinamis biasa terjadi dalam cairan berosilasi yang perlahan-lahan berubah pada tekanan yang dihasilkan dari *standing wave*. Tekanan yang berdampak paling extrem terjadi di dekat permukaan air atau di persimpangan sudut dinding tanki. Variasi tekanan ini bukanlah harmonik atau periodik, meskipun eksitasi eksternal harmonik. Tekanan sloshing pada umumnya sebanding dengan berat jenis cairan, dimensi linear dari tanki dan amplitudo eksitasi tanki (Erdem Unal, 2004).

3. Implementasi Numerik

3.1. Parameter Bentuk Lambung Kapal

Dalam menganalisis pergerakan kapal, diperlukan parameter koefisien-koefisien lambung kapal berupa C_{bl} , C_m , C_p , CWP , LCB , KB , WSA , dan A_{BT} . Desain dilakukan dari hasil numerik

an kata lain
rakan yaitu
gerak kopel
978) adalah

(1)

c, d, e, h
ection kapal.
untuk kapal

(2)

momen gaya
ah amplitude
ihasilkan dari
arya, 1978).
ra sinusoidal
n tanki pada

(3)

(4)

da CG dalam
gerakan pitch
adalah waktu

in bergantung
yang mungkin
lari semua itu.
dari frekuensi
standing wave
angat pendek.
il di atas yang
at lebih besar,
alam, *sloshing*
ng besar pada

disebut tekanan
ik cepat karena
hydraulic jump
a terjadi dalam
an dari *standing*
aan air atau di
c atau periodik,
nya sebanding
si tanki (Erdem

lambung kapal
ri hasil numerik

A - 132

berdasarkan hasil dari perhitungan secara empiris. Adapun data utama kapal yang digunakan yaitu kapal Disha LNG Carrier yang akan disimulasikan adalah sebagai berikut;

Tabel 1. Dimensi Kapal

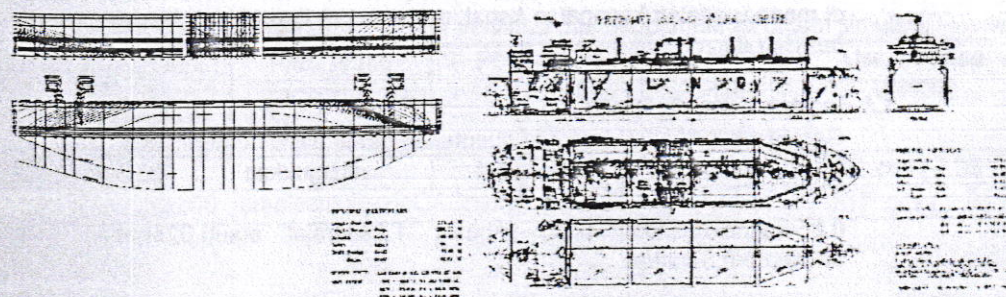
Dimensi Kapal				
L _{PP}	266	m	872.746	ft
B	43.4	m	142.3954	ft
H	26	m	85.306	ft
T _{Design}	11.4	m	37.4034	ft
L _{WL}	270.8	m	888.4948	ft
Displacement	10,014.9	Ton	3,450,972.06	ft ³
Speed	19.5	Knot	10.031	m/s

Adapun perhitungan karakteristik hidrostatik kapal LNG ini dilakukan berdasarkan formulasi empiris untuk kapal tanker. Dimana C_b adalah koefisien blok (Rawson KJ, 1926), C_p adalah koefisien prismatic (Adrian Biran, 2002), C_m adalah koefisien merismatic (Kerlen, 1970), CWP adalah koefisien waterplan, KB adalah jarak keel ke pusat titik apung (Schneekluth, 1921), LCB adalah jarak membujur pusat apung (Kerlen, 1970), WSA adalah luas permukaan basah dan A_{BT} adalah daerah luasan melintang pada bulbus bow di garis FP (Holtrop dan Mannen, 1982). Semua karakteristik bentuk lambung untuk merancang lambung kapal dengan menggunakan computational aided design (CAD) berupa software maxsurf yang dibandingkan dengan perhitungan empiris hidrostatiknya. Setelah dilakukan pendesainan lambung kapal pada CAD, maka didapatkan output perhitungan data hydrostatic. Untuk mendapatkan desain yang valid, maka dilakukan batasan antara output dari CAD tersebut dengan perhitungan empiris. Adapun constrain atau batasan-batasan hydrostatic melalui CAD dengan hydrostatic menggunakan rumus empiris yaitu kurang lebih -0.5% sampai dengan 0.5%. Hasil dari perbandingan hydrostatic secara numerik dan empiris adalah sebagai berikut :

Table.2 Batasan desain parameter lambung kapal.

	Empiris	Numerik	Batasan	Persen
C _b	0.729	0.73	0.001371	0.137%
C _m	0.986	0.98	-0.005085	-0.509%
C _p	0.738	0.74	0.002710	0.271%
Cwp	0.842	0.843	0.001187	0.119%
Lcb	133.101 m	133.918 m	0.000682	0.068%
KB	6.047 m	6.064 m	0.002811	0.281%
WSA	14,622.96 m ²	14,745.3 m ²	0.004367	0.437%
A _{BT}	69.32 m ²	70.012 m ²	0.0095303	0.953%
Disp.	100,194 tons	100,314.3 tons	0.00165	0.165%

Perhitungan numerik di atas menghasilkan gambar linesplan dimana dengan adanya linesplan maka pergerakan pada kapal dapat dianalisis menggunakan bantuan perangkat yang sama.



Gambar 1. Rencana garis dan rencana umum

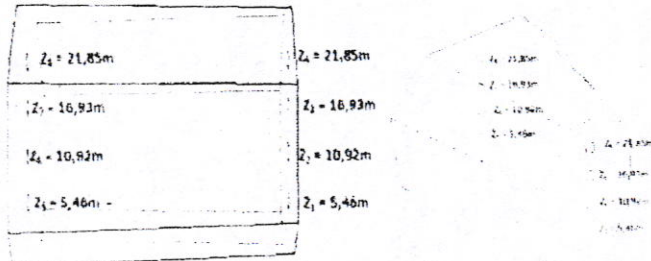
3.2. Dimensi tanki membrane

Dimensitankimembran diukurlangsung dari general arrangement kapal tersebut. Tankimembranyangakan disimulasikan dalam hal ini adalah yang terjauh dari pusat rotasi. Dengan mengasumsikan pusat gravitasi(CG) disumbu vertikal yang sama dengan pusat apung sehingga pusat gravitasimengambilpusat apung (CB) sebagai pusat rotasi. Kemudian membrantanki yangakan disimulasikanada lahtankimembranno.4 yang ditunjukkan dalam gambar 2.

Tabel.3. Ukuran tanki membran

Membran Tank GT NO.96	Jarak dari Ap (m)	Panjang Tanki (m)	Lebar Tanki (m)	Lebar Tanki Bawah (m)	Lebar Tanki Atas (m)	Tinggi Tanki (m)
No.4 Tank Aft	197.3	32.46	39.17	31.29	21.49	14.95
No.4 Tank Fwd	229.8		19.4	11.9	18.5	14.95

Geometritankimembran dengan tinggi 27.32 m memiliki 2.195 node dan 130.286 elemen seragam terstruktur dalam CFD. Dalam perhitungan numeric tersebut dipantau pada empat titik di dinding belakang dan dinding depan dari tanki untuk menyimpan data pressure dari sloshing.



Gambar 2. Penentuan titik identifikasi tekanan

3.3. Data Pelayaran Kapal

Parameter lingkungan kapal diambil dari statistik gelombang dari India ke Qatar selama satu tahun. Nilai periode rata-rata maksimum sebesar 10.2 detik, maksimum tinggi gelombang 7 m dan kedalaman air laut 800 m. Data gelombang statistik ini tercatat selama Januari 2011 sampai Desember 2011 (European Geosciences Union, 2012). Dari parameter gelombang ini, gelombang encounter untuk gerak kapal dapat ditentukan berdasarkan wave aery theory dimana $\omega^2 = g \cdot k \cdot \tanh(k \cdot d)$. Dimana ω adalah frekuensi gelombang atau $2\pi/T$, g adalah percepatan gravitasi, d adalah kedalaman air laut dan k adalah bilangan gelombang. Pada permasalahan ini dimana $\omega = 0.62$ sehingga bilangan gelombang k mendekati 0.03211 rad/m. Kecepatan gelombang dapat ditentukan dengan menggunakan $\lambda = 2\pi/k = 111.28$ m dan kecepatan gelombang $c = \lambda/T = 10.91$ m/s. dari hasil ini, frekuensi encounter dapat ditentukan sebagai $\omega_e = (c - u \cdot \cos \mu) / 2\pi/\lambda = 0.67$ rad/s. di mana u adalah kecepatan kapal, dan μ sudut hadap kapal sebesar 180° untuk gerakan heaving dan pitching.

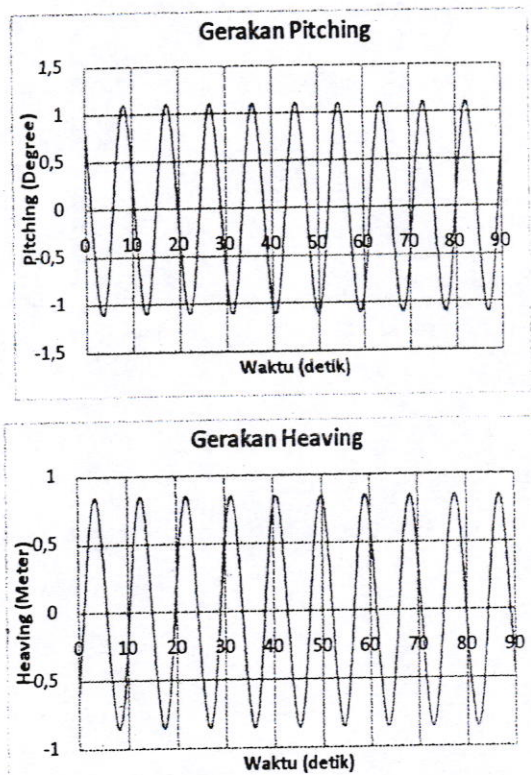
3.4. Analisa Numerik Gerakan Kapal

Gerakan kapal LNGC tersebut ditentukan dari analisis numerik pada gelombang regulernya yang memiliki hasil persamaan sinusoidal ditunjukkan dalam gambar 3. Analisis gerakan yang menggunakan CAD disajikan selama 90 detik memiliki amplitude heave 0.851 m dan amplitude pitch sebesar 1.29 derajat atau 0.025 radian dengan frekuensi encounter 0.67 rad/s.

tersebut,
at rotasi.
ganpusat
rotasi.
tunjukkan

Tinggi Tank (m)	Tinggi Air (m)
49	14.95
.5	14.95

2.195node
tersebut
menyimpan



Gambar 3. Hasil numerik heaving dan pitching.

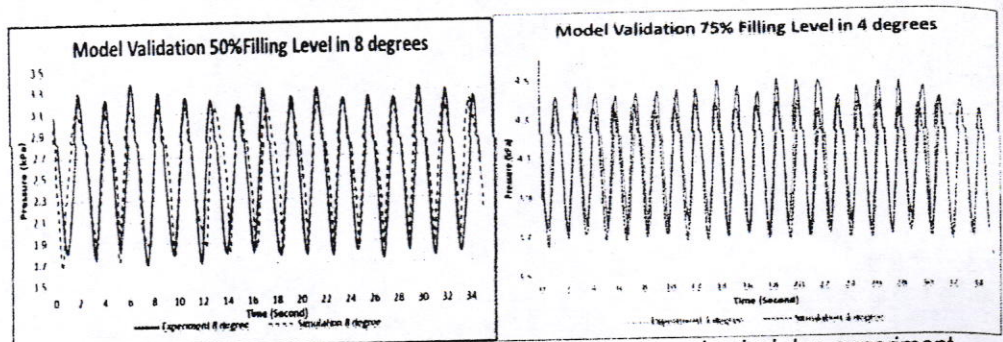
Sehingga gerakan kapal tersebut dapat dinyatakan dalam persamaan kecepatan vertikal pada gelombang reguler sebagai $dz/dt = -0.65 \cos(0.67.t)$ dan kecepatan sudut sebagai $d\theta/dt = 0.025 \cos(0.67.t)$. Hasil persamaan tersebut yang akan menjadi parameter input ke dalam CFD dengan konsep gerakan kopel.

4. Verifikasi

Untuk mengukur keakuratan hasil dari metode numerik menggunakan CFD, percobaan yang diambil dalam sebuah jurnal internasional yang berjudul "Experimental investigation of pressure distribution on a rectangular tank due to the liquid Sloshing" (Hakan Akyildiz dan Erdem U'nal., 2004) yang akan disimulasikan dengan CFD berupa problematika gerakan piching pada tanki sehingga nantinya hasil tersebut diharapkan sama dengan percobaan yang telah dilakukan sehingga dapat digunakan untuk simulasi fluida dalam gerakan tanki membran NO.96 kapal LNG. Pada gambar 4 hasil percobaan dinyatakan dengan garis solid dan hasil numerik disajikan dengan garis putus-putus. Kasus-kasus percobaan yang diambil adalah simulasi sloshing tanpa baffle dalam 50% dan 75% filling level dengan amplitudo 4 dan 8 derajat. Persamaan kecepatan didasarkan formulasi yang akan diinput ke dalam rumus user defined CFD.

Table 4. Beberapa input parameter verifikasi dari experiment ke dalam simulasi

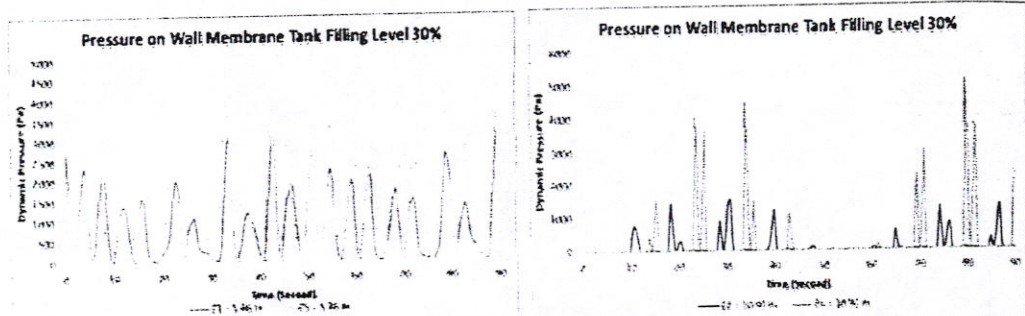
Case No	Filling Depth (%)	Pitch Angle (degree)	Pitch Angle (Radians)	Frequency Pitch	User Defined Velocity
1	50	8	0.138	2.25	$0.31 \cos(2.25 t)$
2	75	4	0.069	2.5	$0.17 \cos(2.5 t)$



Gambar 4. Perbandingan hasil pressure antara simulasi dan experiment

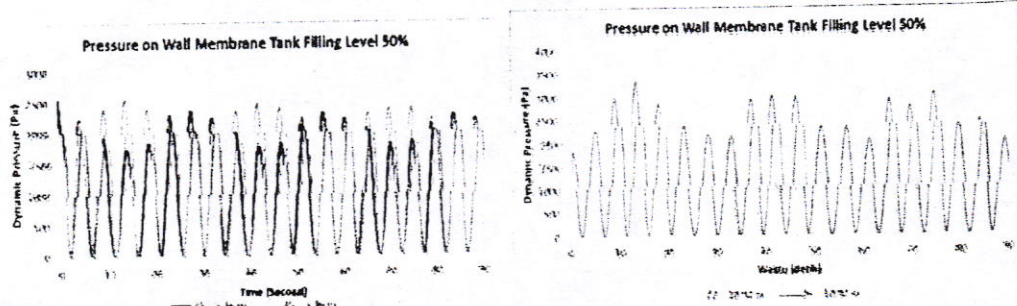
5. Hasil

Simulasi hasil tekanangerakan fluidadi dalam tankimembranyang dirancangdalam 3D dengan30% filling leveldapatdigambarkan dalam gambar5di manasloshingterjadi padadinding depandandinding belakangdaritankimembran. Tekananmaksimum padadinding belakangtankimembranlebih tinggi daritekanan maksimumpadadinding depantankimembrankarenalebar yang berbedadarimasing-masing bagian tanki.



Gambar 5. Pressure 30% filling level pada 5.46m dan 10.92 m dari dasar tanki

Tekanan maksimumdengan 30% filling levelterjadi padadinding belakanguntuk tinggidaridasartankipadatitik $Z_5=4,291.24\text{Pa}$, $Z_6=5,122.34\text{Pa}$ Padantekanan maksimumyang terjadipadadinding depanuntuk tinggipada titik $Z_1=3,239.66\text{Pa}$, $Z_2=1,542.30\text{Pa}$. Pada kasus ini telahdigambarkanbahwaperbedaan tekanan yang lebih tinggipadadinding belakangterjadi secara *unpredictable*.



Gambar 6. Pressure 50% filling level pada 5.46m dan 10.92 m dari dasar tanki

Tekanan pada50% filling level berbeda darikasus sebelumnya. Tekanan maksimumterjadi padadinding belakangpada kondisi50% filling level dari dasar tankipadatitik $Z_5=2,569.64\text{Pa}$, $Z_6=3,352.06\text{Pa}$ Padantekanan maksimumpadadinding depanpada titik $Z_1=2,531.56\text{Pa}$, $Z_2=2,841.98\text{Pa}$.Pada kasus ini telahdigambarkanbahwatekanan bebanyak lebih tinggiterjadi padadinding belakangterjadi teratur secara periodic.

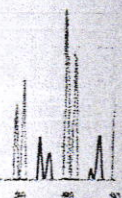
degrees

19 28 32 34

eriment

ig dalam 3D
padadinding
padadinding
padadinding

level 30%



dasar tanki

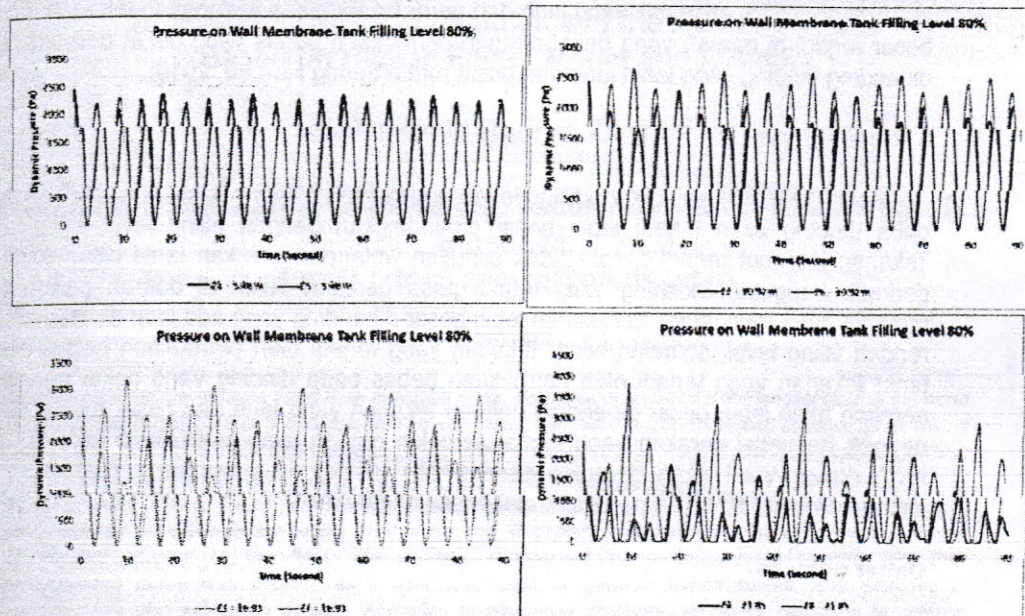
elakanguntuk
iksimumyang
ida kasus ini
lakangterjadi

H 50%



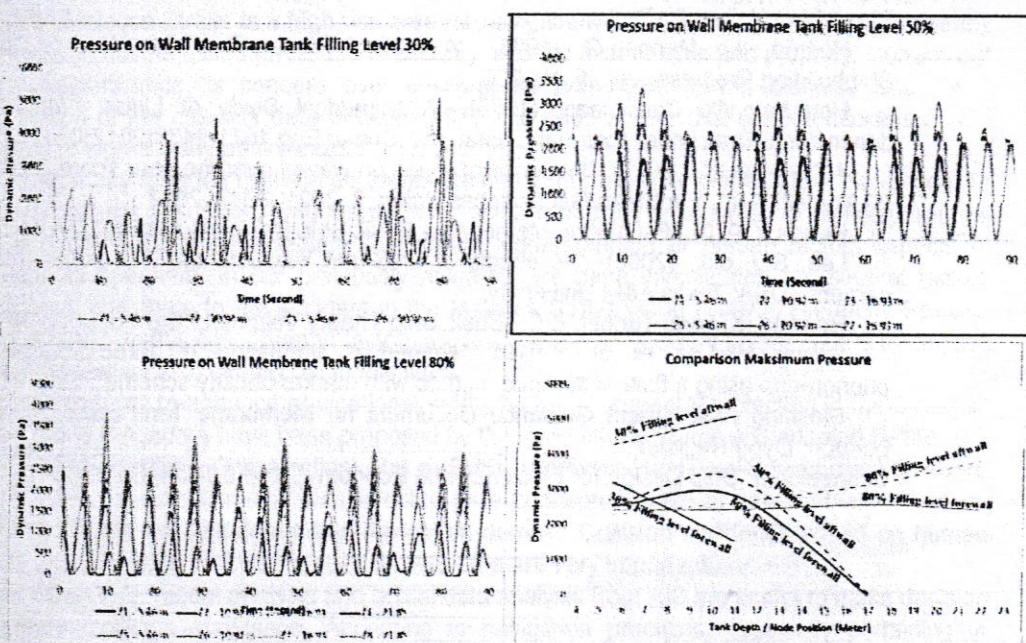
dasar tanki

csimumterjadi
=2,569.64Pa,
=2,531.56Pa,
1 tinggiterjadi



Gambar 6. Pressure 80% filling level pada 5.46m, 10.92m, 16.93m dan 21.95m dari dasar tanki

Untuk kasusterakhir dengan 80% filling level dengan tekanan maksimum padadinding belakanguntuk ketinggiandaridasartanki padatitik $Z_5=2,290.02\text{Pa}$, $Z_6=2,658.08\text{Pa}$, $Z_7=3,180.39\text{Pa}$, $Z_8=3,842.90\text{Pa}$ dan tekanan maksimum padadinding depan pada titik $Z_1=2,409.64\text{Pa}$, $Z_2=2,440.82\text{Pa}$, $Z_3=2,594.83\text{Pa}$, $Z_4=2,443.61\text{Pa}$. Pada kasus ini sama dengan 50% filling level dimana tekanan bebanyak lebih tinggiterjadi padadinding belakangterjadi lebih teratur secara periodic.



Gambar 6. Perbandingan pressure 30%, 50%, dan 80% filling level pada 5.46m, 10.92m, 16.93m dan 21.95m dari dasar tanki

Perbandingan antara tekanan maksimum yang terjadi pada setiap node pada berbagai filling level digambarkan dengan tekanan besar yang berdampak pada dinding belakang sebesar 30% filling level dekat dengan permukaan bebas dari LNG. Selain itu, tekanan yang

stabil akan terjadi pada titik yang jauh dari permukaan bebas sedangkan tekanan dinamis yang besar terjadi di daerah yang dekat dengan permukaan bebas yang dekat dengan pusat rotasi dibanding dinding yang lebih jauh dari pusat rotasi(Seung He-Lee, 2010).

6. Kesimpulan

Ketika terjadi sloshing pada filling level yang rendah dalam hal ini 30%, tekanan yang terjadi pada dinding akan terjadi lebih besar dibandingkan dengan filling level yang lebih tinggi. Tekanan tersebut terjadi secara tidak simultan walaupun gerakan tanki disimulasikan secara periodik / regular. Sloshing yang terjadi pada gerakan fluida di daerah permukaan bebas tersebut akan mengalami perubahan lebih besar dibanding yang ada jauh didalamnya. Semakin rendah filling level, semakin besar tekanan yang terjadi oleh permukaan bebas pada dinding tanki.Tekanan yang terjadi oleh permukaan bebas pada dinding yang dekat dari pusat rotasi gerakan akan lebih besar dibanding dengan tekanan yang jauh dari pusat rotasi. Dari simulasi dengan frekuensi gerakan yang sama, semakin rendah filing level maka panjang gelombang LNG dalam tanki akan semakin pendek dan amplitudo gelombang akan semakin tinggi sehingga mengakibatkan perubahan tekanan yang besar.

Daftar pustaka

- Akyildiz H, Unal E. "Experimental investigation of pressure distribution on a rectangular tank due to the liquid sloshing". Ocean Eng 2005;32:1503–16.
- A.Ibrohim,Rouf. (2005). "Liquid Sloshing Dynamics Theory and Applications". Cambridge; Cambridge University Press.
- Bhattacharrya, Rameswar. (1978). "Dynamics Of Marine Vehicles". New York; Wiley Publication.
- Biran Adrian. (2003). "Ship Hydrostatic and Stability". British; British Library.
- Cargo Operating Manual. "Liquid Natural Gas Carrier Disha (H2210)".Petronet Pentatech.co.ltd.
- A.Ibrohim,Rouf. (2005). "Liquid Sloshing Dynamics Theory and Applications." Cambridge; Cambridge University Press.
- Holtrop, J.e Mennen,G. (1978). "A Statical Power Prediction Method ". International Shipbuilding Progress, Vol.25, No.290
- Hou Ling,Wu Cun Liang. (1978). "A Numerical Study of Liquid Sloshing in a Two-dimensional Tank under External Excitations".Ocean Eng 1671-9433(2012)03-0305-06.
- J. Glejin et al. (2012). "Influence of winds on waves over the near shore regions of eastern [8] Arabian Sea". European Geosciences Union; 9, 3021–3047, 2012
- Kerlen. (1970). "Estimation Methode for Basic Ship Design Summary".Marlin. Delft.
- Lee, S.J, dkk. (2005). "he effects of LNG-tank sloshing on The global motions of LNG carriers". USA: Texas A&M University.
- Rowsen, K.J and Tupper, E.C. "Basic Ship Theory Volume I." Oxford: Longman group.
- Seung He-Lee et al. (2010). "Numerical simulation of three-dimensional sloshing phenomena using a finite difference method with marker density scheme". 38 (2011) 206-225
- Sloshing Assessment Guidance Document for Membrane Tank LNG Operations (2009). London; Llyod Register.
- Schneekluth."Ship Design for Efficiency and Economy", 2nd Edition, Butterworth-Heinemann